2025年度 河川技術に関するシンポジウム

模型大型堤防における降雨時の水収支分析に基づく堤体内の水の貯留及び流出過程の検討

中央大学大学院 中央大学大学研究開発機構 中央大学大学研究開発機構 中央大学大学研究開発機構 〇白石 芳樹 竹村 吉晴 後藤 岳久 福岡 捷二

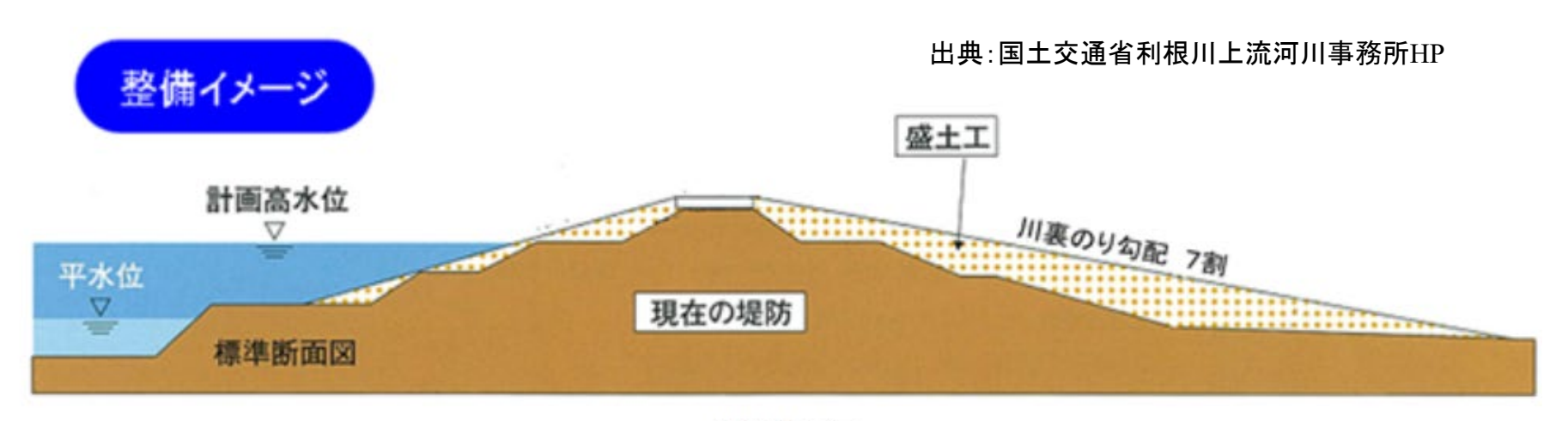
1. 背景

■問題意識

- 利根川のような7割堤では、浸潤面が長く なり法尻からの崩壊を抑制することができる。一方で堤体表面積が増加することで浸 透量が増加する。
- 従来の浸透流解析法では,堤防への降雨の 浸透特性は,堤体の土質だけでなく,雨の 降り方にも影響され,降雨量のうちどの程 度の量が貯留されるかの判断が困難.



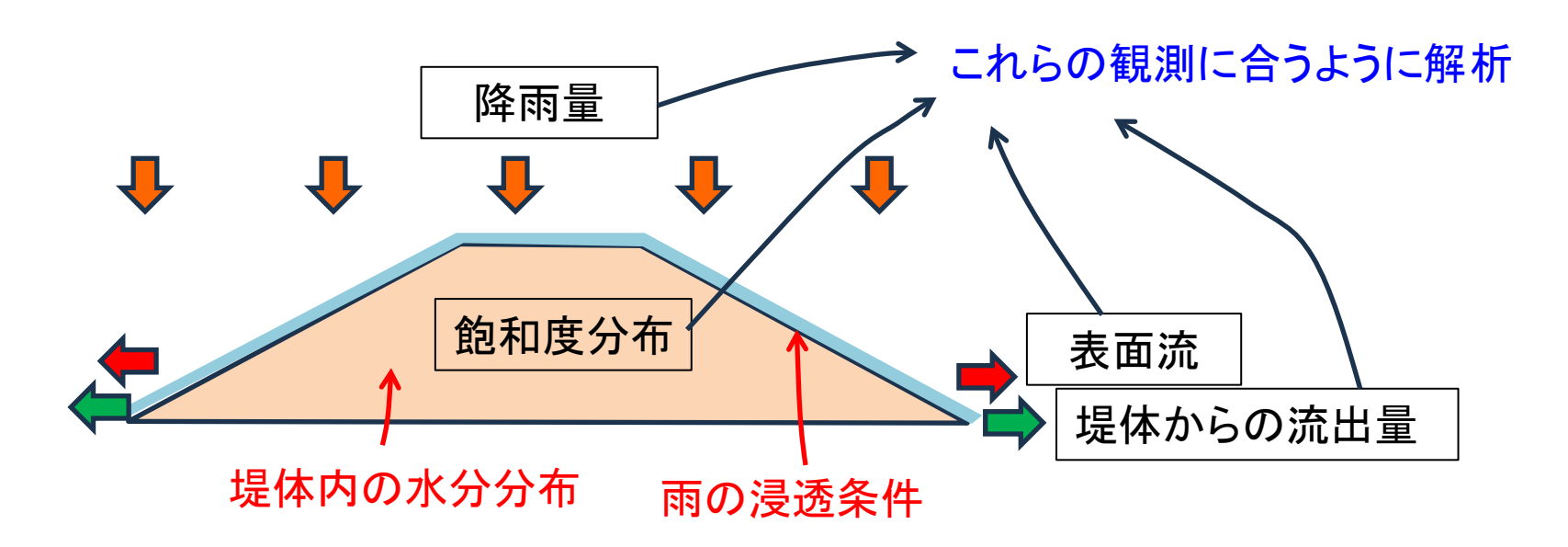
(令和6年1月撮影)



堤防断面図

1.研究の目的

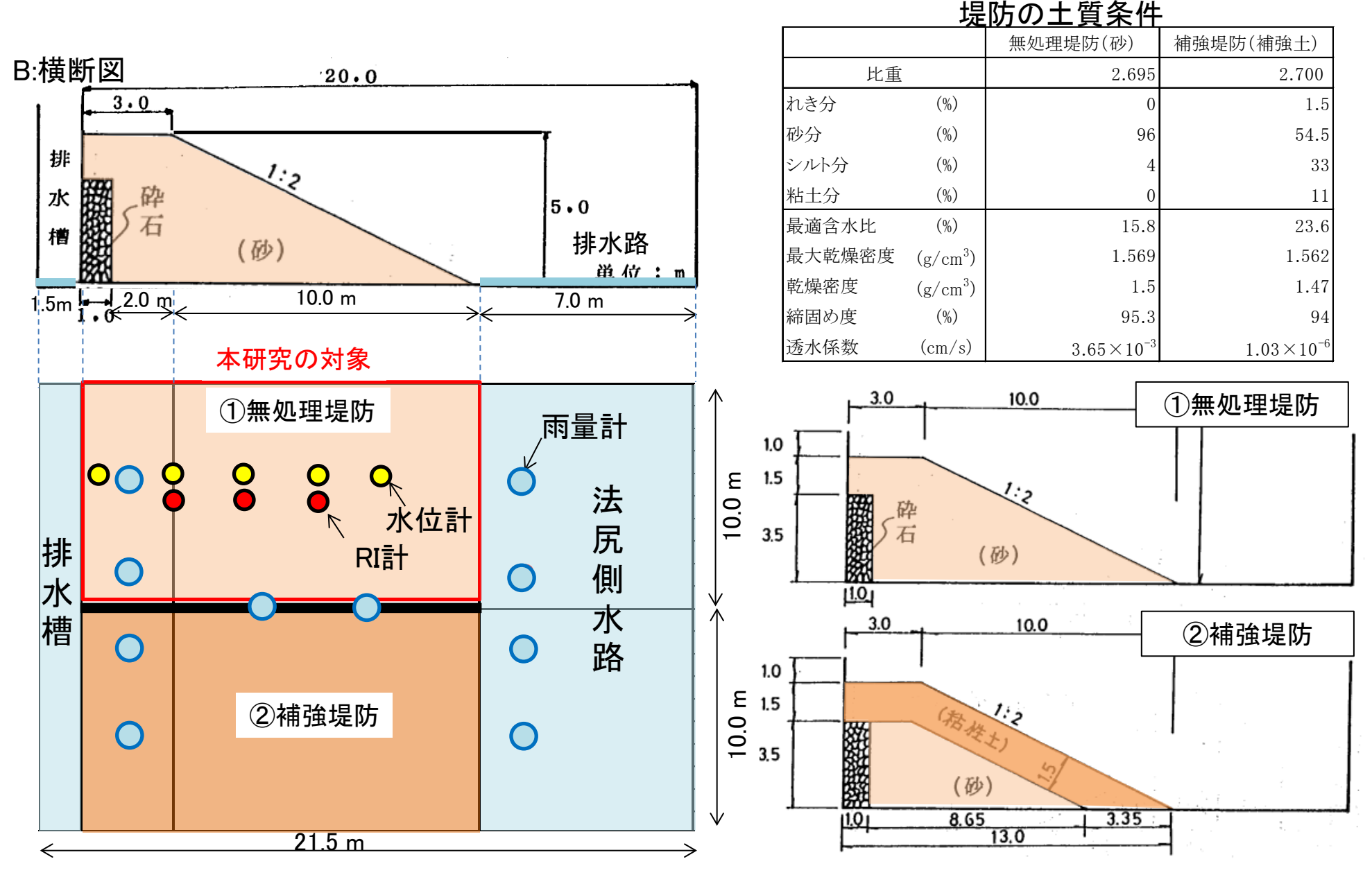
堤防に降った雨と堤防からの流出量と堤体内の飽和度等の計測値の時間変化が観測できれば,水理解析法を用いることで,降った雨がいつ,どこに,どのような量が存在しているかを示す水収支分布が得られ,降雨の浸透条件や堤体内の水分分布の推定が可能.



■研究の目的

本研究では、土木研究所で実施された模型大型堤防を用いた降雨実験結果をもとに、境界 適合型の水理解析モデルを開発し、水収支分布を再現することで堤体内の水の貯留及び流出 過程を検証し、今後の堤体における水収支解析の課題を整理する.

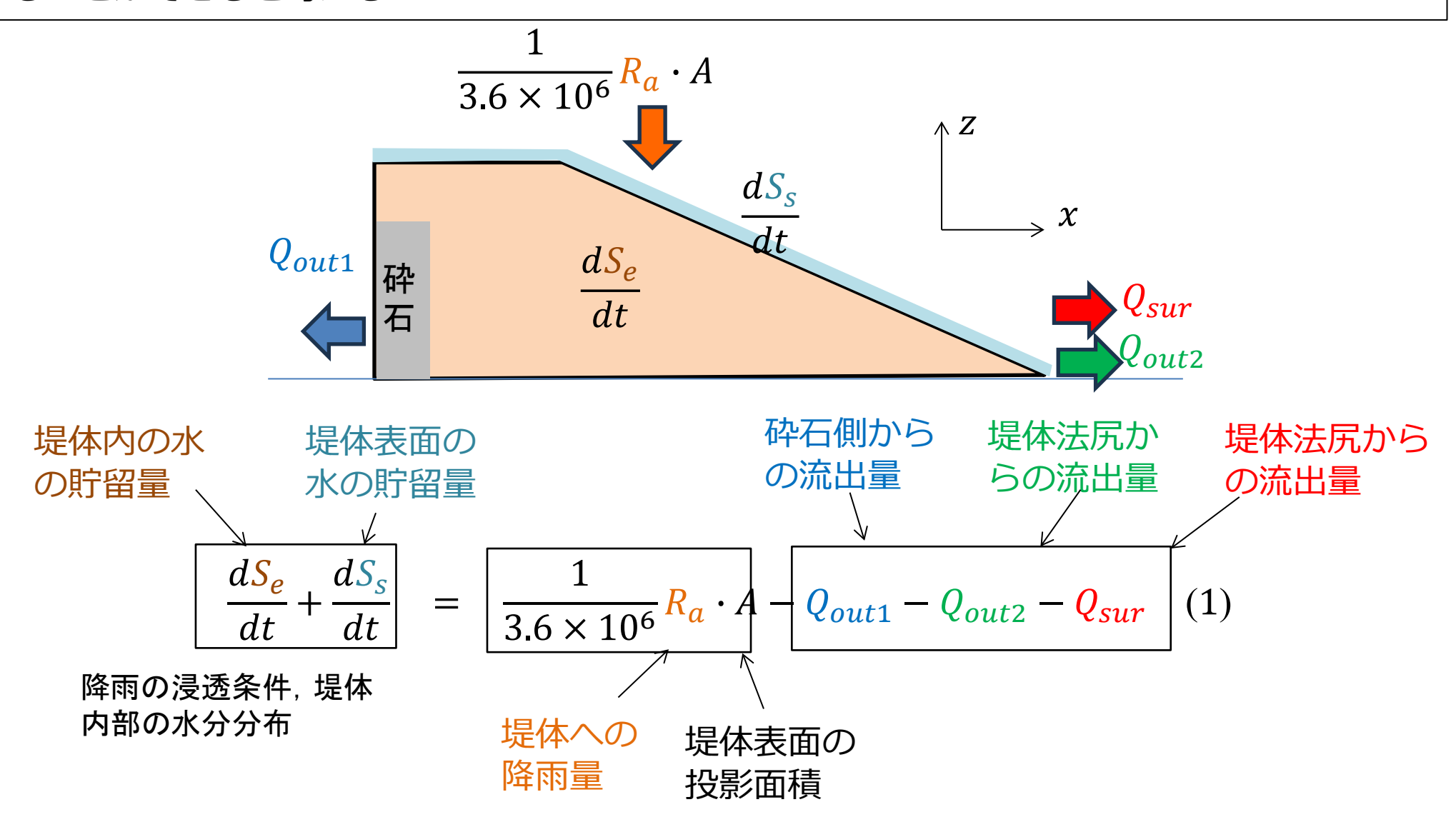
2.大型模型堤防実験装置の概要



出典:久楽勝行,丹羽薫,斉藤義章,石塚廣史:堤防補強に関する大型模型実験(1),土木研究所資料,第1772号,1982.

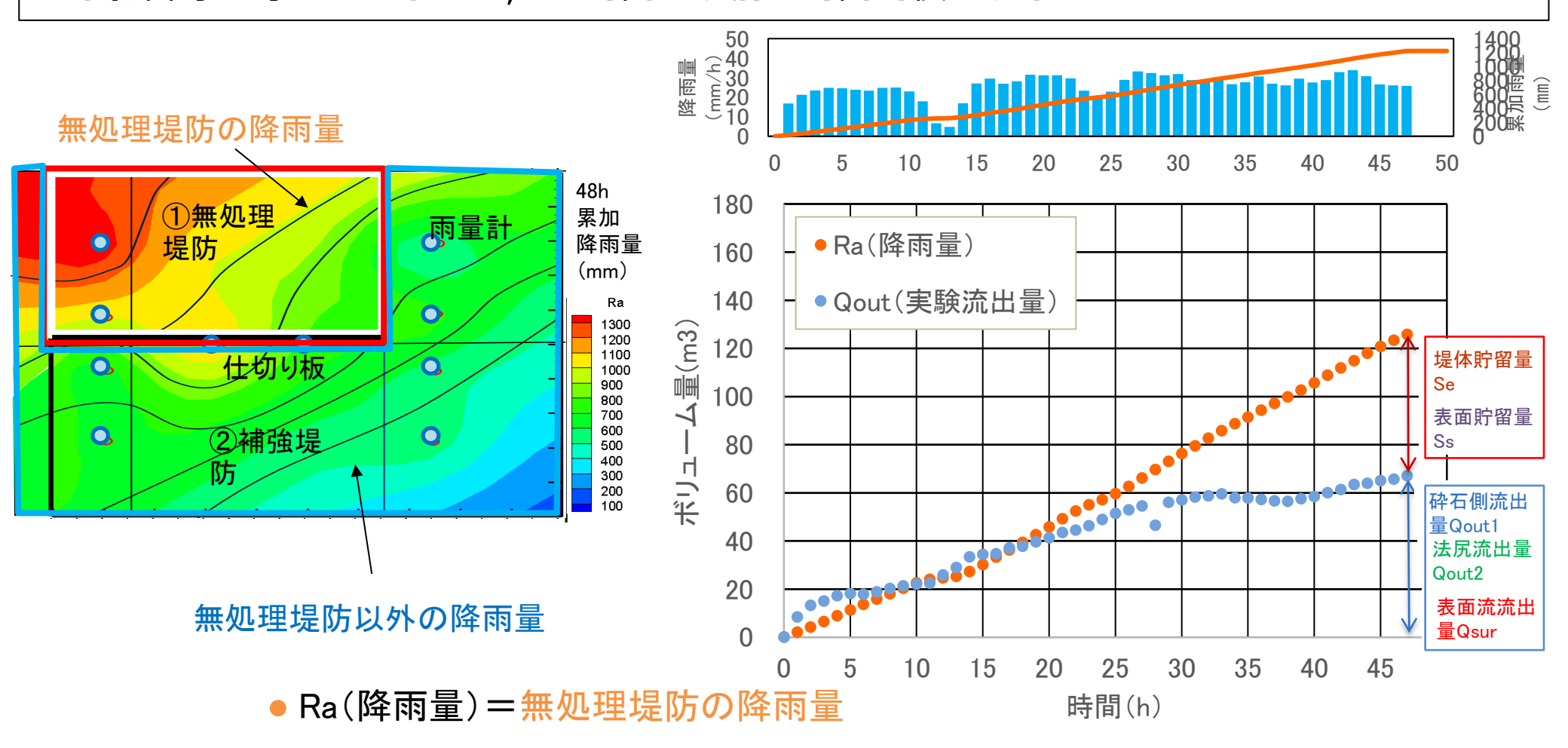
2.降雨実験の計測結果に基づく水収支分布式

実験で観測されているものは、降雨量と堤防からの流出量であり、その差分が堤体内と表面の貯留量になる. その貯留量がわかるとすれば、降雨の浸透条件や内部の水分分布を推測することができると考える.



2.大型模型堤防実験における実測の水収支分布図

式(1)の右辺に実測の堤防への降雨量と堤防からの流出量を用いて水収支分布図が描ける. 33時間以降は降雨量に対し流出量が増加せず,この理由として①降雨の分布,②法尻崩壊による影響等が考えられるため,33時間より前の時間で検証する.



■ Qout(実験流出量)=総流出量-無処理堤防以外の降雨量

3. 境界適合型水理解析モデル

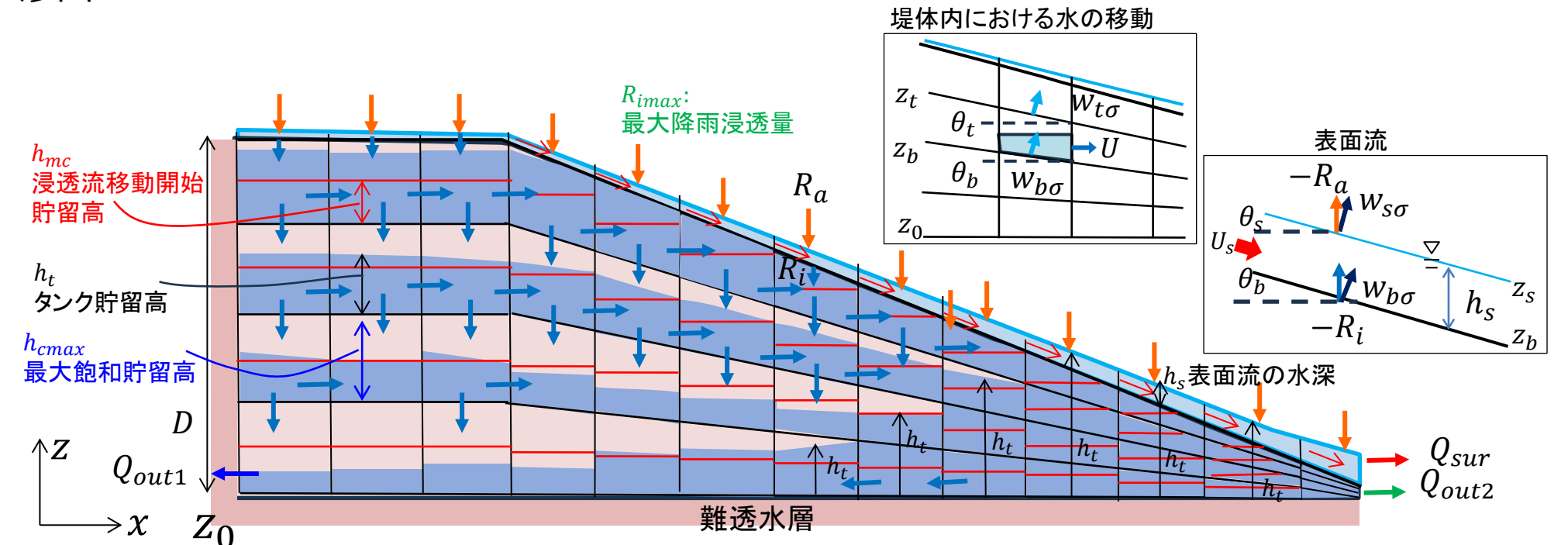
降雨の浸透条件

降雨量を堤体表面に与えて、最大浸透能R_{imax}以下の降雨量が堤体内に浸透するものとし、それ以上の降雨量は堤体に浸透しないものとして表面流が発生.

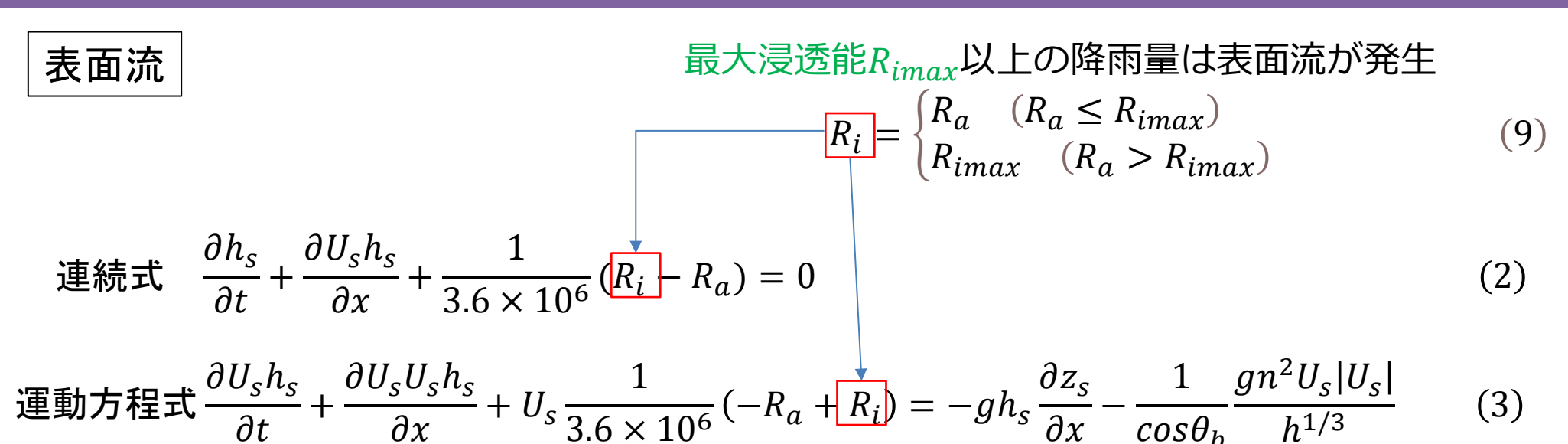
堤体内の水分分布

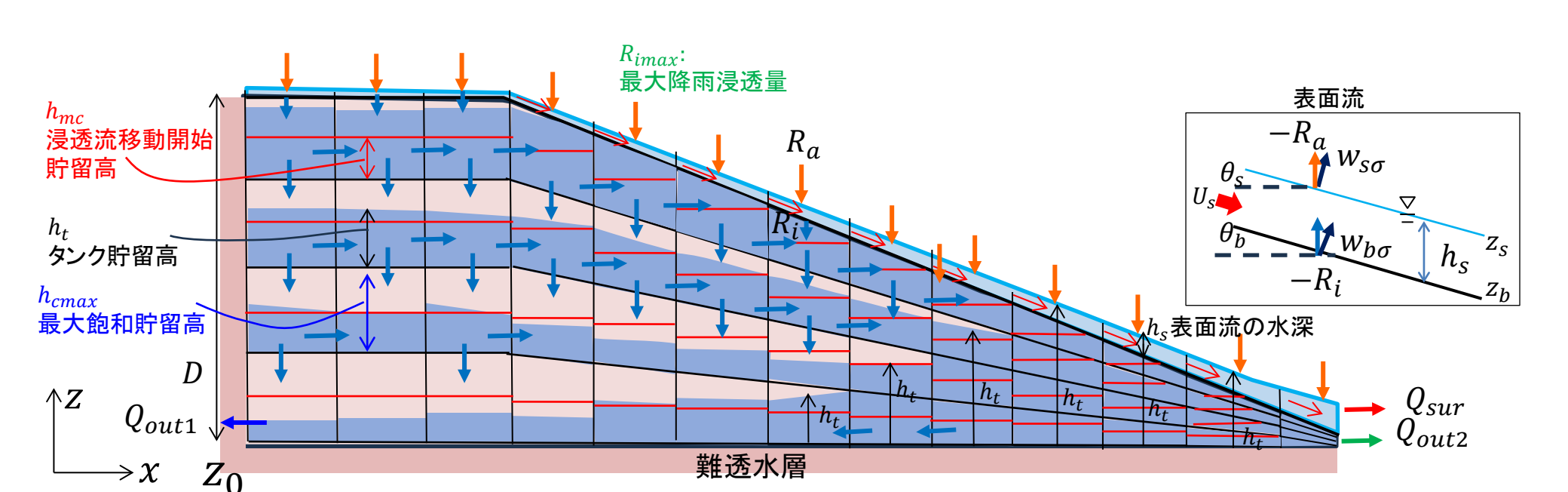
堤体境界に適合した複数のタンクを連結し、その土中の水分量を貯留高 h_t で表現し、<mark>浸透流移動開始貯留高(圃場容水量) h_{mc} を導入することで、不飽和時には水が動かず、水が貯まるとし、それ以上になると土中の水の運動はDarcy則と連続式で解析.</mark>

タンク貯留高 h_t が最大飽和貯留高 h_{tmax} に達した場合,堤体に貯留しきれない雨水が堤体から滲出。



3. 境界適合型水理解析モデル





3. 境界適合型水理解析モデル

堤体内の浸透

$$\frac{\partial h_t}{\partial t} + \frac{\partial U h_t}{\partial x} + \frac{1}{3.6 \times 10^6} \frac{1}{R_i} - \frac{w_{b\sigma}}{\cos \theta_b} = 0 \quad (4)$$

連続式
$$= \frac{\partial h_t}{\partial t} + \frac{\partial U h_t}{\partial x} + \frac{w_{\sigma t}}{\cos \theta_t} - \frac{w_{\sigma b}}{\cos \theta_b} = 0$$
 (5)

$$\left[\frac{\partial h_t}{\partial t} + \frac{\partial U h_t}{\partial x} + \frac{w_{\sigma t}}{\cos \theta_t} \right] \tag{6}$$

重動方程式
$$\begin{cases} U = -k_a \frac{\partial h_t}{\partial x} - k_a \sigma \frac{\partial D}{\partial x} \\ w_{\sigma} = -k_a \frac{1}{D} \frac{\partial}{\partial \sigma} (h_t + \sigma D) \end{cases}$$
 (8)

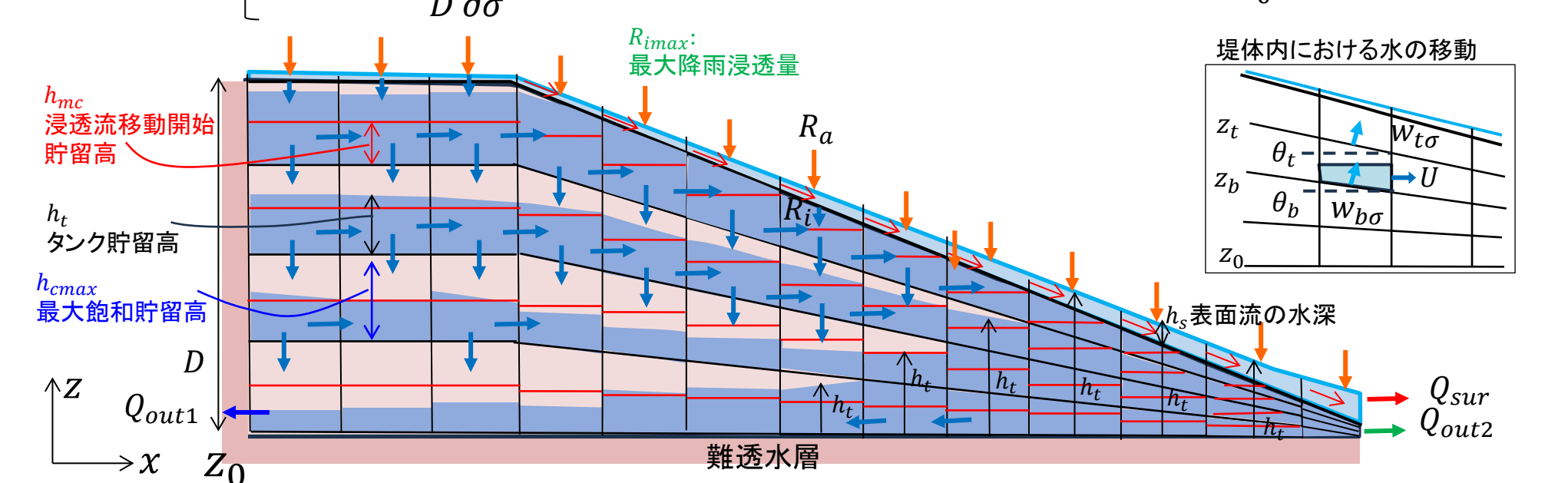
$$w_{\sigma} = -k_a \frac{1}{D} \frac{\partial}{\partial z} (h_t + \sigma D) \tag{8}$$

最大浸透能R_{imax}以下の降雨 量が堤体内に浸透

$$R_{i} = \begin{cases} R_{a} & (R_{a} \le R_{imax}) \\ R_{imax} & (R_{a} > R_{imax}) \end{cases}$$
 (9)

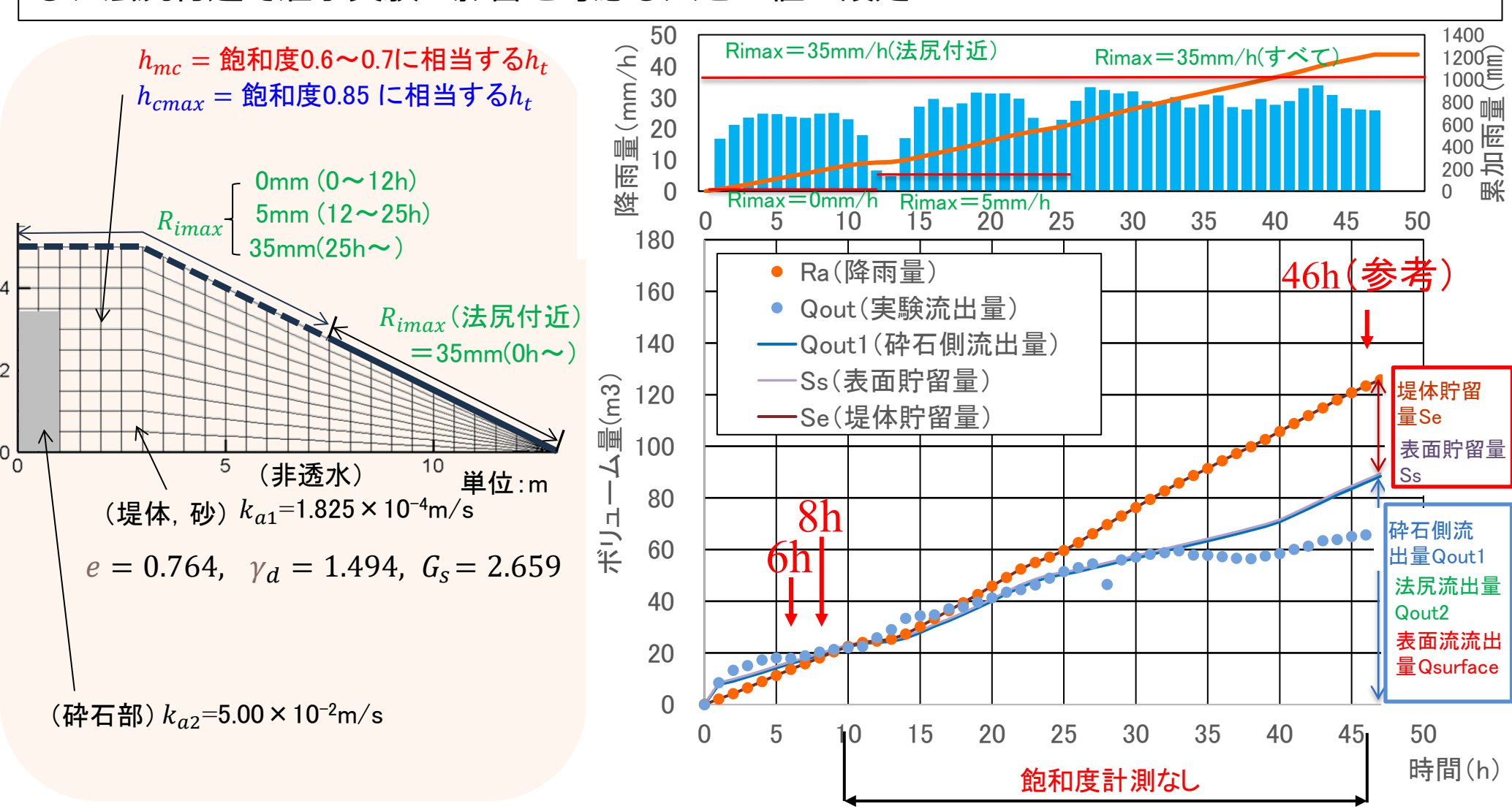
最大飽和貯留高htmaxに達し た場合堤体に貯留しきれない 雨水が堤体から滲出

$$R_i = -\frac{\partial}{\partial x} \int_0^1 U h_t d\sigma \quad (10)$$

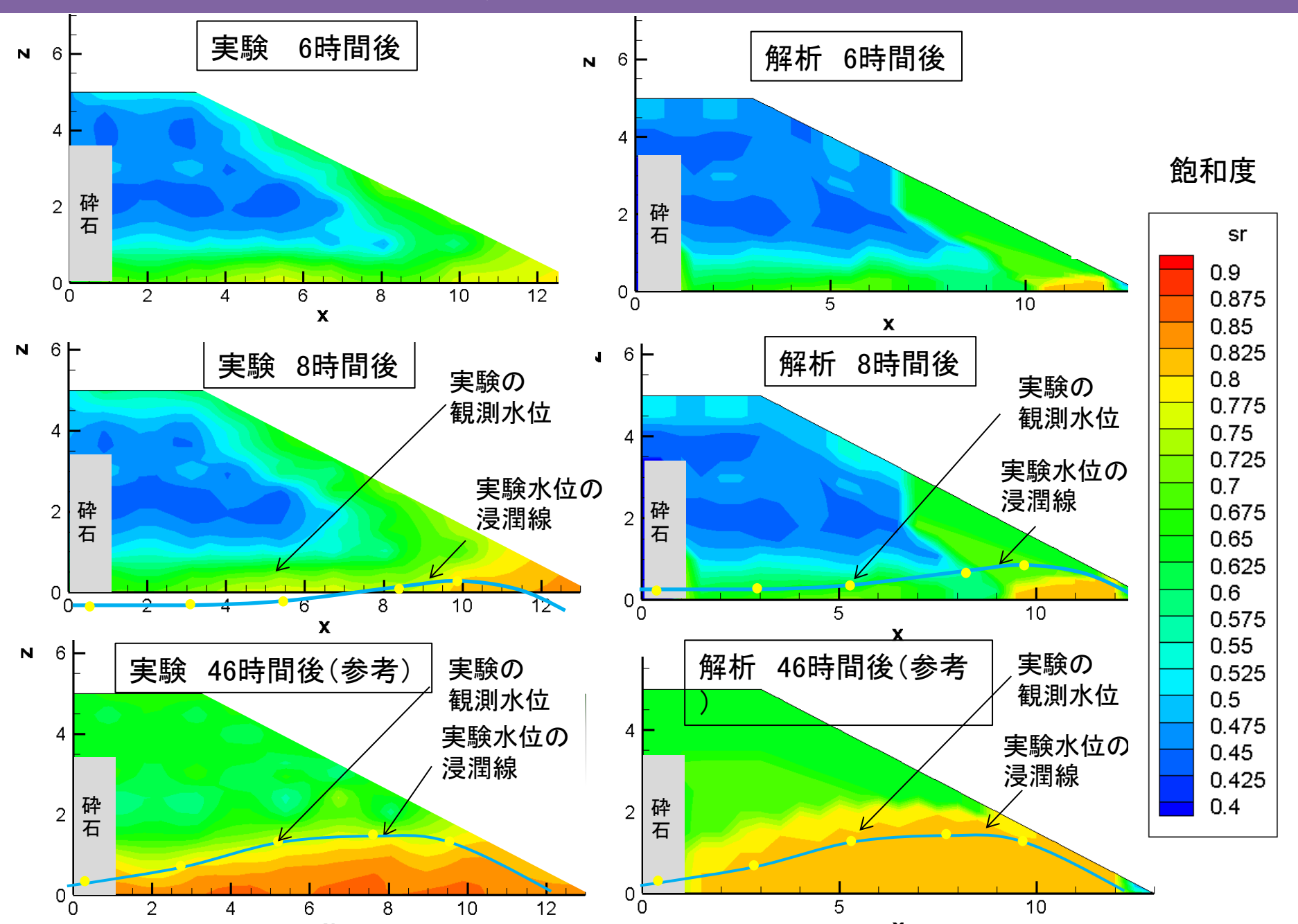


4.無処理堤防実験での水収支分布図

実験で計測された水収支分布を説明するように、パラメータ(h_{mc} h_{cmax} R_{imax})を以下のように設定. R_{imax} は降雨後に飽和度が大きくならないため、天端付近で0から段階的に大きくし、法尻付近で湛水実験の影響を考慮し大きい値に設定.

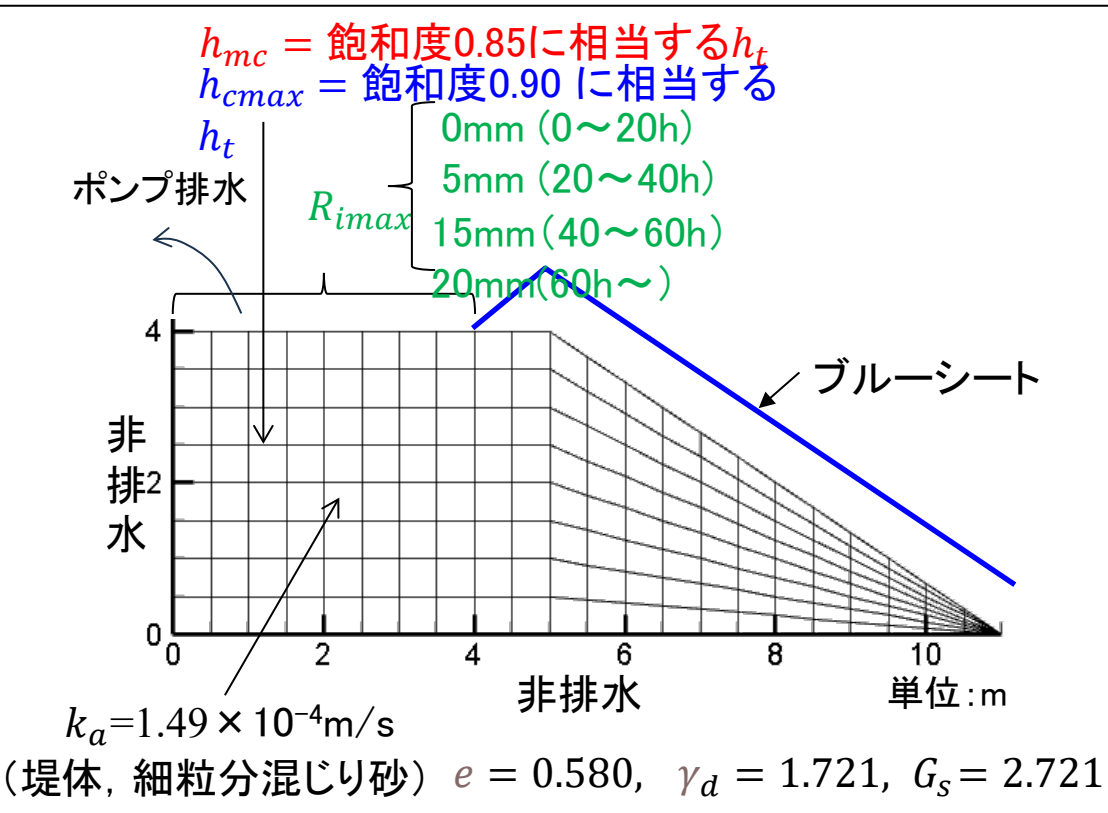


4.久楽らの計測値に基づく水収支分布解析結果



5.鉄道総研による盛土降雨実験への適用

実験で計測された<u>飽和度分布</u>を説明するように、パラメータ (h_{mc} , h_{cmax} , R_{imax})を設定. R_{imax} は実験の飽和度が20時間後まで上昇しないため、0から段階的上げるように設定.



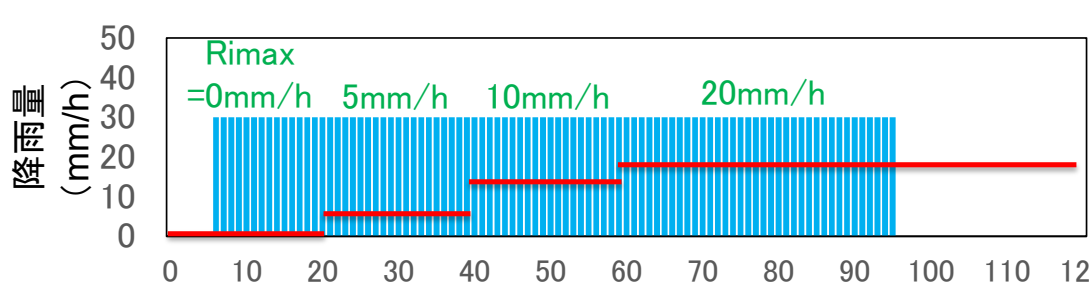




図1 降雨実験装置の外観 ***6/こかり

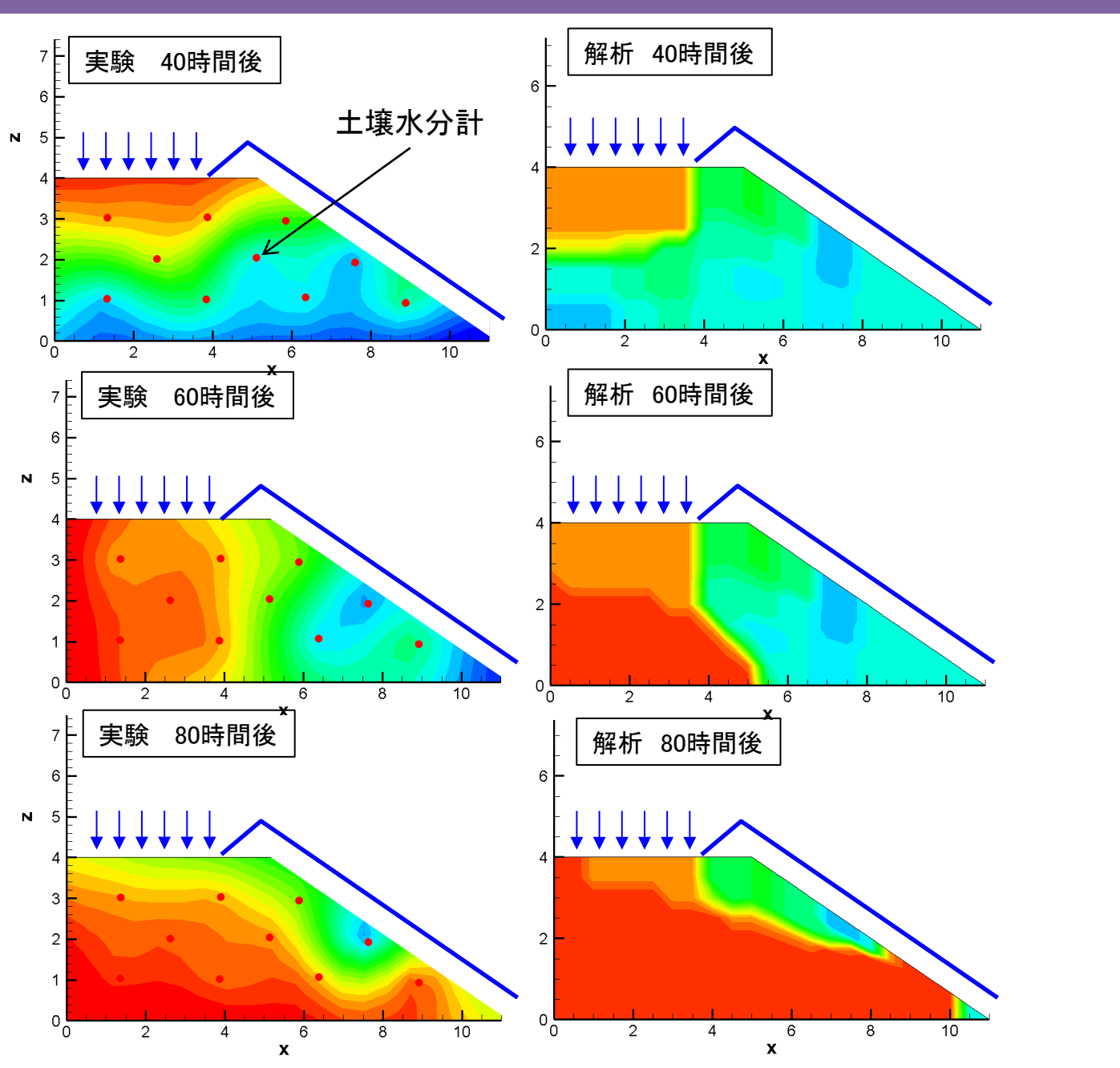


(a) 天端

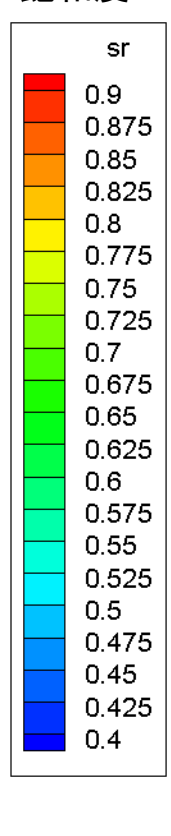
(b) のり面

佐藤武斗,杉山健太,阿部慶太,笠原康平,松丸貴樹,冨田佳孝:実物大鉄道盛土の降雨・載荷実験による崩壊規模に応じた安定性評価,地盤 工学ジャーナルVol.19,No.1,pp.101-115,2024

5.鉄道総研による盛土降雨実験への適用



飽和度

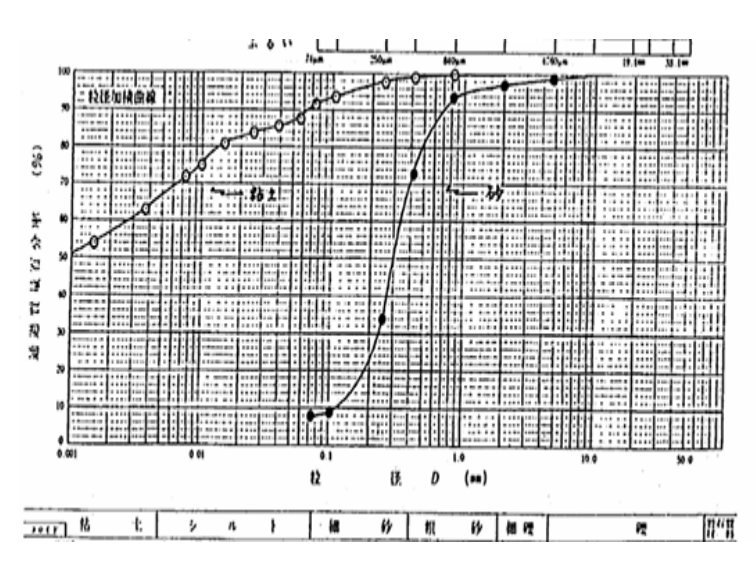


5.各パラメータと材料特性による比較

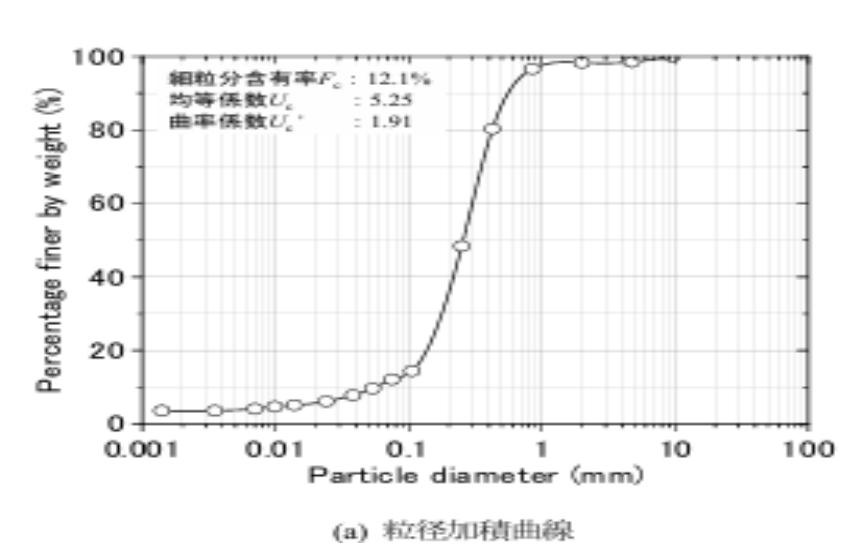
2つの実験での土質は、 同等の砂であり、その違いは細粒分含有率が異なる. 久楽らの実験 の h_{mc} が鉄道総研よりも小さく、均等係数に違いが見られ、貯留量に関係すると考えられる

| 各実験堤防の | 土質条件と設定ん | パラメー | -ター覧 |
|--------|----------|------|-------|
| | | | , ,,, |

| 実験名 | 土質分類 | 透水係数 (m/s) | 間隙比 | 乾燥 重量 | 比重 | 均等 係数 | h_{mc} | h_{cmax} | モデル設定 透水係数 |
|---------|---------|-------------------------|-------|----------|-------|----------|----------|------------|-------------------------|
| 久楽らの実験 | 砂 | 3.65 × 10 ⁻⁵ | 0.764 | 1.494 | 2.659 | 2.21 | 0.6~0.7 | 0.85 | 1.85×10^{-4} |
| 鉄道総研の実験 | 細粒分混じり砂 | 2.98 × 10 ⁻⁵ | 0.58 | 1.721 | 2.721 | 5.25 | 0.85 | 0.9 | 1.49 × 10 ⁻⁴ |



粒度分布(久楽らの実験)



粒度分布(鉄道総研の実験)

久楽勝行,丹羽薫,斉藤義章,石塚廣史:堤防補強に関する大型模型実験(1),土木研究所資料,第1772号,1982.

佐藤武斗,杉山健太,阿部慶太,笠原康平,松丸貴樹,冨田佳孝:実物大鉄道盛土の降雨・載荷実験による崩壊規模に応じた安定性評価,地盤工学ジャーナルVol.19,No.1,pp.101-115,2024

6.釧路川試験堤防降雨実験への適用

 $h_{cmax} =$ 飽和度0.90 に相当する h_t $h_{mc} =$ 飽和度0.85 に相当する h_t $R_{imax} = 35mm$

 k_{a2} =1.27×10⁻⁵m/s e=1.14, $\gamma_d=1.19$, $G_s=2.55$ (拡幅部, シルト質土)

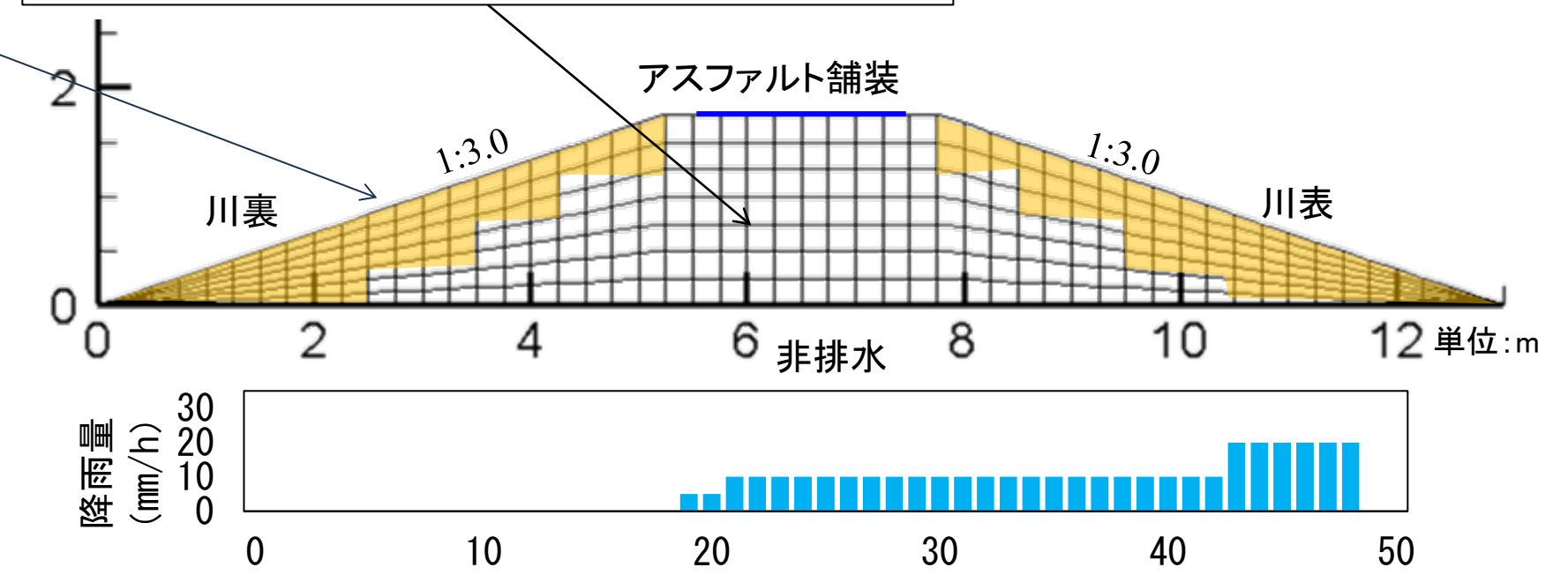
 h_{cmax} = 飽和度0.80 に相当する h_t

 h_{mc} = 飽和度0.70 に相当する h_t

 $R_{imax} = 35mm$

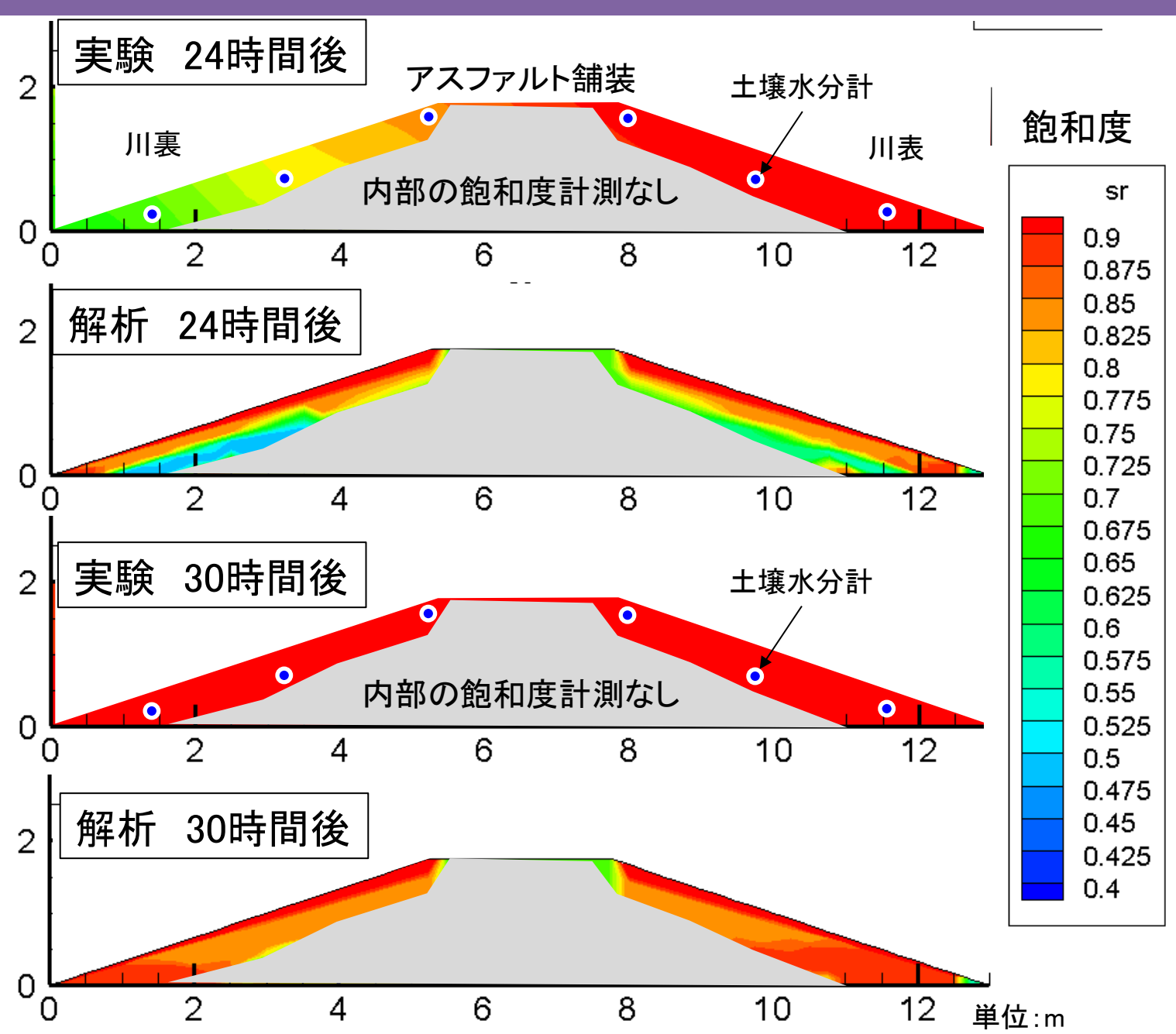
 k_{a1} =7.24 × 10⁻⁵m/s e=0.80, $\gamma_d=1.42$, $G_s=2.56$ (旧堤部,砂質土)





岡村健斗,川尻峻三,濱中昭文,大串正紀,鈴木智之,不動充,ベーンコーンせん断試験を用いた実大試験堤防の強度特性変化の観察と安定性評価,第10回河川堤防技術シンポジウム論文集,pp.63-66,2022.

6.釧路川試験堤防降雨実験への適用



7.境界適合型水理解析モデルへのRichards式の適用

物理的意味が説明できていない h_{mc} , h_{cmax} を使用せず,不飽和領域の各タンクの水分量に応 じて運動方程式及び不飽和透水係数が変化する機構を取り込んだRichards式を用いた

連続式
$$\frac{\partial h_t}{\partial t} + \frac{\partial (z_t - z_b)U}{\partial x} + \frac{w_{\sigma t}}{\cos \theta_t} - \frac{w_{\sigma b}}{\cos \theta_b} = 0$$
 (5)'

運動方程式(飽和時)

$$h_n \ge 0$$

$$\int U = -k_a \frac{\partial h_t}{\partial x} - k_a \sigma \frac{\partial D}{\partial x} \tag{7}$$

$$w_{\sigma} = -k_a \frac{1}{D} \frac{\partial}{\partial \sigma} (h_t + \sigma D) \tag{8}$$

運動方程式(不飽和時) $h_p < 0$

$$h_n < 0$$

$$u = -k_{wi} \frac{\partial (h_p + \sigma D)}{\partial x} - k_{wi} \sigma \frac{\partial D}{\partial x}$$
(11)

$$w_{\sigma} = -k_{wi} \frac{1}{D} \frac{\partial}{\partial \sigma} (h_p + \sigma D)$$
 (12)

不飽和透水係数と圧力水頭の関係式(不飽和時)

$$k_{wi}(h_p) = k_{ws} \cdot S_e^{\xi} \left\{ 1 - \left(1 - S_e^{\frac{1}{m}} \right)^m \right\}^2$$
 (13)

圧力水頭と体積含水率の関係式(不飽和時)

$$\theta(h_p) = \theta_r + \frac{\theta_s - \theta_r}{\left\{1 + (-\alpha h_n \rho g)^n\right\}^m} \tag{14}$$

h₁:貯留高

u:見かけの流速(x方向)

wa:見かけの流速(z方向)

 $k_{wi}(h_p)$:不飽和透水係数(i=x,z)

 S_{ρ} :有効飽和度

n:無次元パラメータ(sand=2.68)

m = 1 - 1/n

 ξ :間隙結合関数(ξ =4)

 θ_s :飽和時の含水率(sand=0.43)

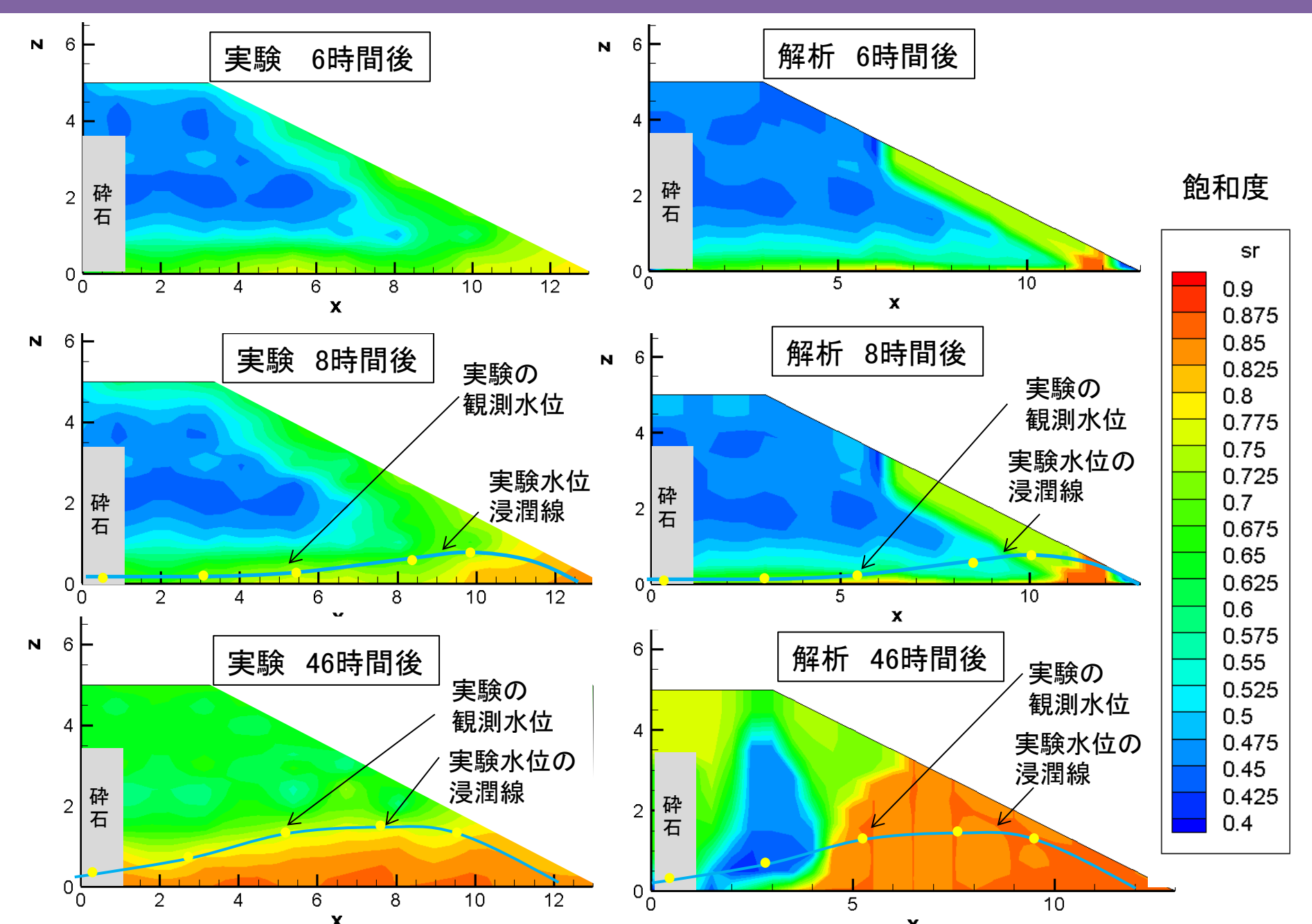
 θ_r :残留含水率(sand=0.045)

 α :スケーリングパラメータ(sand=14.51(1/m))

Van Genuchtenの水分特性曲線で近似した場合.

$$S_e = \frac{\theta - \theta_r}{\theta_s - \theta_r} \quad (15)$$

7. 境界適合型水理解析モデルへのRichards式の適用



8.まとめと今後の課題

【本研究のまとめ】

- 模型大型堤防を対象として、降雨実験結果と、境界適合型水理解析モデルに基づいた水収支分布解析を行い、堤体内の水の貯留及び流出過程の再現性を検証した。さらに他の実験事例に適用することで水収支解析の有効性を検討した。
- \bullet h_{mc} は不飽和時のサクションに影響し、 h_{cmax} は有効飽和度に定義される飽和時の含水率を表現したものであり、その値は、 $h_{mc}=0.6 \sim 0.85$, $h_{cmax}=0.8 \sim 0.9$ 程度となり、同じ土質特性では同様の値を示す。
- ullet R_{imax} は表面流の発生しやすさに関するパラメータであり、降雨強度が $20\sim30$ mm/h程度と強くなると、堤体内への降雨浸透量が少なくなる.

【今後の課題】

● モデルパラメータの物理的意味を明らかにすることを目的にRichards式を適用した境界適合型水理解析モデルに基づいて久楽らの実験の再現を試みた、その結果、堤体内部の水の移動を一部再現できるが、飽和領域と不飽和領域の水の移動に課題がある。